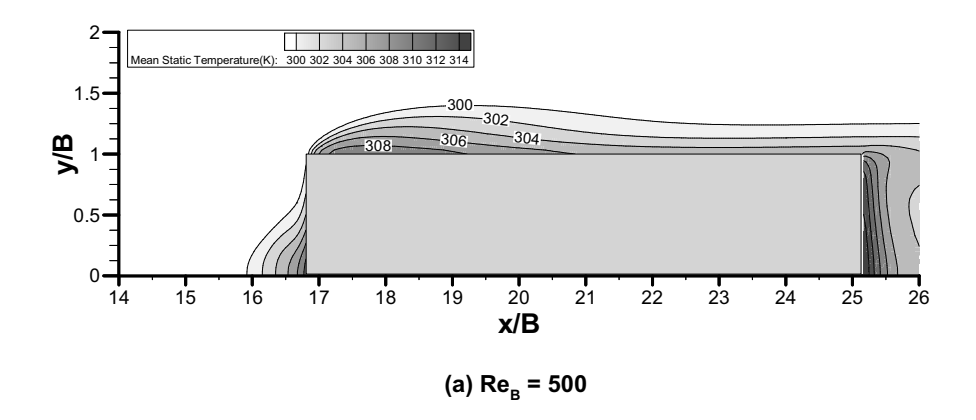
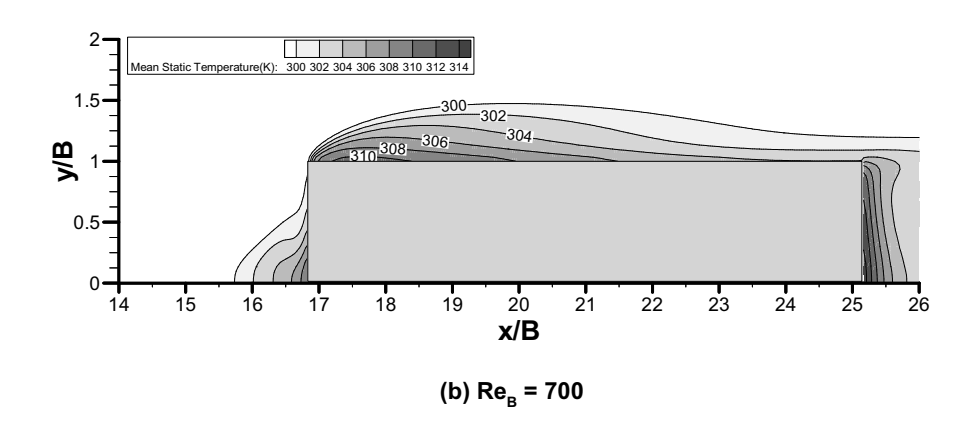
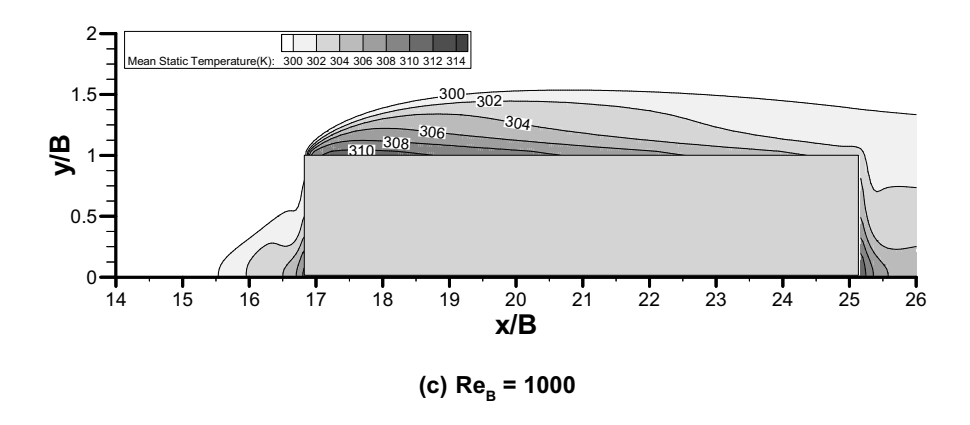


รูปที่ 3.14 กระจายตัวของค่าตัวเลขนัสเซลท์เฉพาะตำแหน่ง ณ เวลาใดเวลาหนึ่ง (a) $\mathrm{Re_B} = 500$, (b) $\mathrm{Re_B} = 700$ และ (c) $\mathrm{Re_B} = 1000$

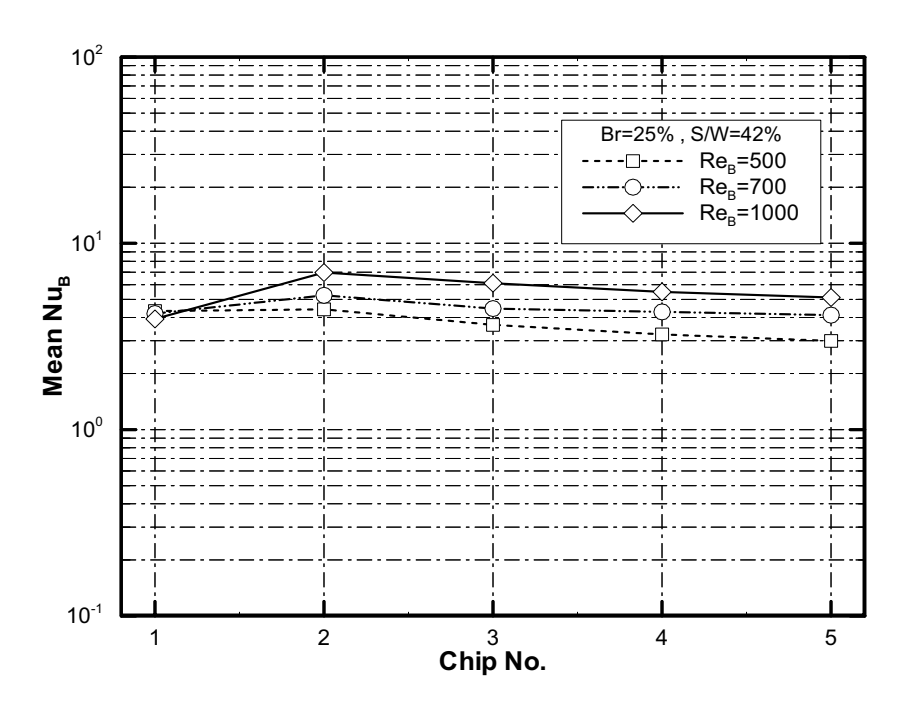






รูปที่ 3.15 contour ของค่าอุณหภูมิเฉลี่ยที่ (a) $\mathrm{Re_{_B}}$ = 500, (b) $\mathrm{Re_{_B}}$ = 700 และ (c) $\mathrm{Re_{_B}}$ = 1000

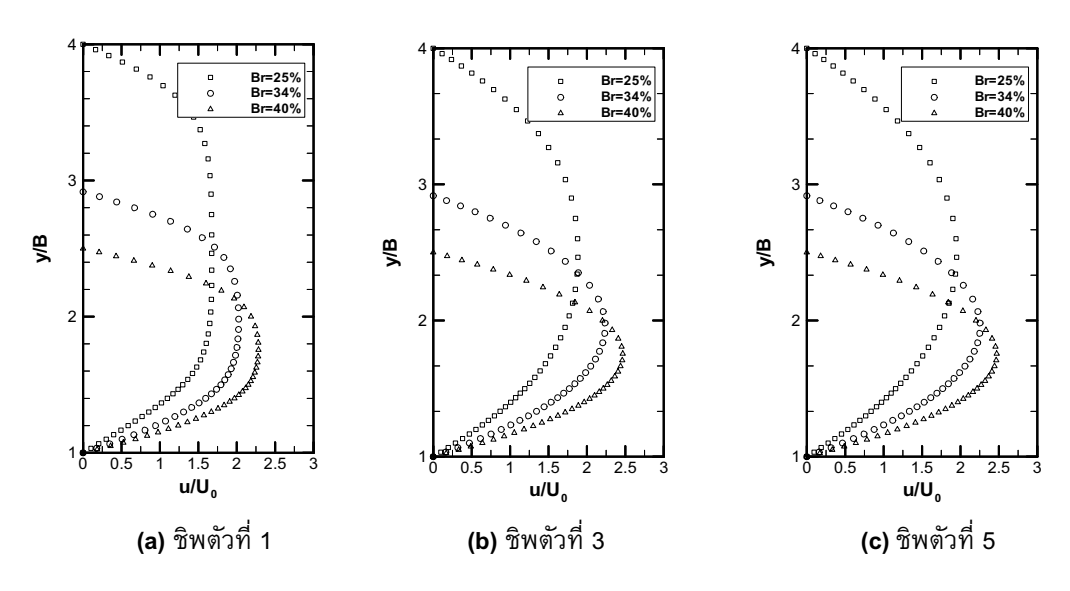
ส่วนการกระจายตัวของค่าตัวเลขนัสเซลเฉพาะตำแหน่งในชิพความร้อนตัวที่ 2, 3, 4 และ 5 ที่ค่าตัวเลขเรย์โนลเท่ากับ 500 จะมีค่าต่ำกว่าที่กรณีค่าตัวเลขเรย์โนลเท่ากับ 700 และ 1000 ตามลำดับ เหตุผลเพราะว่าที่ค่าตัวเลขเรย์โนลเท่ากับ 500 นั้นการไหลในชิพตัวที่ 2 – 5 นั้นจะลู่เข้า สู่การไหลแบบสภาวะคงตัวเนื่องจากมีค่าแรงเนื่องจากความเฉื่อยไม่เพียงพอที่จะกระตุ้นให้การไหล ยังคงต่อเนื่องเป็นการไหลในสภาวะไม่คงตัว รูปที่ 3.16 แสดงค่าเฉลี่ยตัวเลขนัสเซลในชิพความ ร้อนแต่ละตัว (Mean Nu_B = $\overline{\text{Nu}_{\text{B}}} = \overline{\text{hB}}/\text{k}$) จากการคำนวณพบว่าชิพความร้อนตัวที่ 2 ของทั้ง สามกรณีของค่าตัวเลขเรย์โนล พบว่ามีแนวโน้มที่แตกต่างกันโดยค่าตัวเลขเรย์โนลเท่ากับ 500 มี แนวโน้มของค่าเฉลี่ยตัวเลขนัสเซลคล้ายกับการไหลในสภาวะคงตัว กล่าวคือมีค่าเฉลี่ยตัวเลขนัส เซลสูงสุดที่ชิพตัวที่ 1 และต่ำสุดที่ชิพตัวที่ 5 ซึ่งแสดงว่าการไหลบรรจบบนผนังชิพตัวที่ 1 ยังมี อิทธิพลน้อยอยู่ แต่ในกรณีค่าตัวเลขเรย์โนลที่ 700 และ 1000 กลับมีค่าเฉลี่ยตัวเลขนัสเซลสูงสุดที่ชิพตัว 2 ซึ่งผลการคำนวณนี้มีความสอดคล้องกับงานวิจัยของ Meinders et al.[15] ที่ทำการ ทดลองการไหลและการถ่ายเทความร้อนของชิพจำนวน 6 ตัว พบว่าที่ค่าตัวเลขเรย์โนลสูงนั้นชิพ ความร้อนตัวที่ 2 มีค่าสัมประสิทธิการพาความร้อนสูงกว่าชิพตัวที่ 1 เนื่องจากผนังด้านบนของ ชิพความร้อนตัวแรกมีการสะสมอุณหภูมิอันเกิดจากการไหลบรรจบบนผนังชิพ



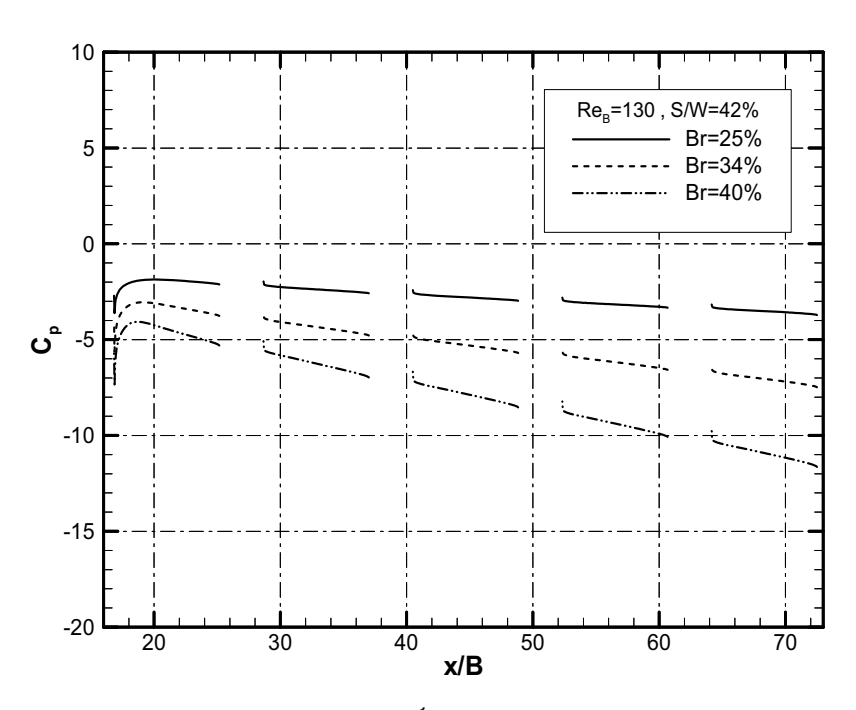
รูปที่ 3.16 ค่าเฉลี่ยตัวเลขนัสเซลของชิพแต่ละตัวที่ Re_в ต่างกัน

3.7.2 ผลกระทบของค่าอัตราส่วนความสูงของชิพต่อความสูงของแบบจำลองการไหล 3.7.2.1 การไหลในสภาวะคงตัว

การคำนวณหาผลกระทบจากการเปลี่ยนแปลงค่าอัตราส่วนความสูงของชิพ ต่อความสูงของ แบบจำลองการไหล (blockage ratio: Br = B/H) ในสภาวะการไหลคงตัวได้กระทำการคำนวณที่ค่า 12.5%, 25%, 34% และ 40% ผลกระทบของการเปลี่ยนแปลงค่าอัตราส่วนความสูงของชิพ ต่อ ความสูงของแบบจำลองการใหลในสภาวะการใหลคงตัวนี้ พบว่าทำให้การกระจายของความเร็ว (velocity profile) เหนือผนังของชิพความร้อนเกิดการเปลี่ยนแปลงขึ้น ดังแสดงในรูปที่ 3.17 ซึ่งเป็น การกระจายค่าความเร็วบริเวณด้านบนของผนังชิพตัวที่ 1 ตัวที่ 3 และตัวที่ 5 ตามลำดับ ณ ตำแหน่งกึ่งกลางตามความยาวของชิพ โดยการคำนวณได้กระทำที่ค่า Re_B = 130 และ S/W = 42% จากรูปพบว่าเมื่อทำการเพิ่มค่า Br มีผลทำให้ค่า $\mathbf{u}/\mathbf{U}|_{\max}$ มีค่าเพิ่มขึ้น การกระจายของความเร็ว ในชิพความร้อนตัวที่หนึ่งยังคงอยู่ในช่วงการพัฒนา (developing region) เนื่องจากรูปทรงของการ กระจายเอง การพัฒนาเริ่มสมบูรณ์ตั้งแต่ชิพความร้อนตัวที่ 3 เป็นต้นไป สัมประสิทธิ์ของความดันบนผนังของชิพความร้อนที่กรณี 25%, 34% และ 40% พบว่าลักษณะการ กระจายตัวของความดันมีลักษณะการกระจายตัวเช่นเดียวกับการคำนวณผลกระทบจากค่าตัวเลข เรย์โนลที่ผ่านมา ซึ่งยังคงอยู่ในลักษณะการกระจายตัวของการไหลแบบคงตัว แต่ผลของการเพิ่มค่า Br พบว่าทำให้มีค่าความชั้นของความดันของการไหลสูงขึ้นประมาณ 52% ถ้า Br มีค่าเพิ่มขึ้น 26.4% และสูงขึ้นประมาณ 70% ถ้าค่า Br เพิ่มขึ้น 37.5% ซึ่งแสดงว่าการเพิ่มค่า Br มีผลต่อค่า ความดันตกคร่อมของการไหล ทั้งนี้เพราะการเพิ่มค่า Br ทำให้ของไหลไหลผ่านช่องระหว่างผนังที่ มีพื้นที่น้อยได้ยากขึ้น การกระจายตัวของความดันแสดงในรูปที่ 3.18

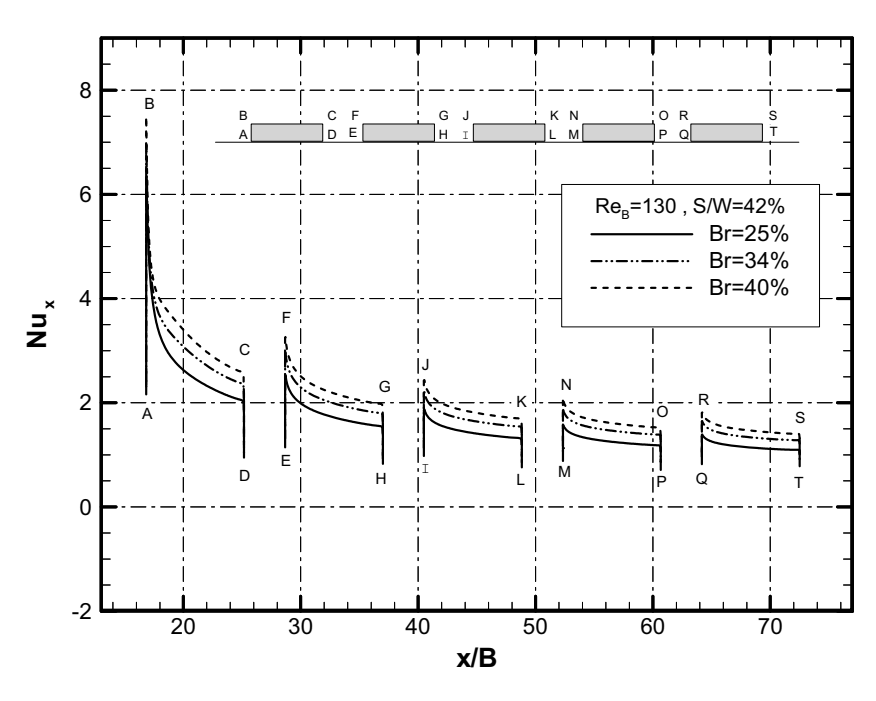


รูปที่ 3.17 การกระจายตัวของความเร็วในการคำนวณผลกระทบจากค่า Br ที่ค่า Re_в= 130, S/W = 42%

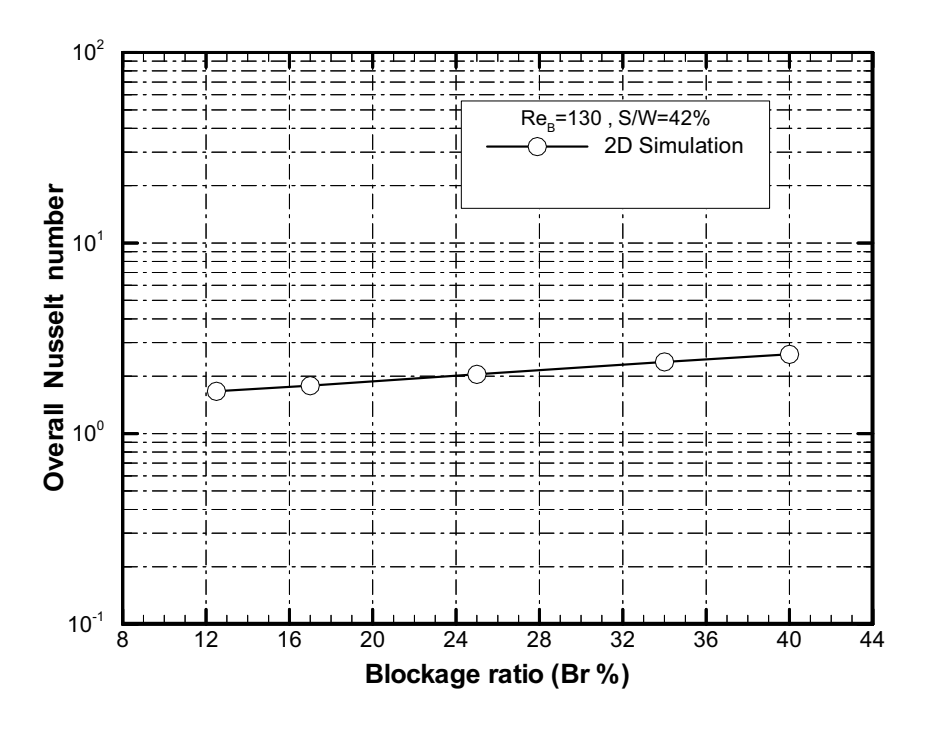


รูปที่ 3.18 การกระจายตัวของค่าสัมประสิทธิ์ความดันของการคำนวณผลกระทบค่า Br

สำหรับผลกระทบในด้านการถ่ายเทความร้อนของชิพความร้อน เมื่อพิจารณาจากรูปที่ 3.19 ์ ซึ่งแสดงการกระจายตัวของค่าตัวเลขนัสเซลเฉพาะตำแหน่ง พบว่าที่ค่า Br = 25% ค่าตัวเลขนัสเซล เฉพาะตำแหน่งของชิพทุกตัวมีค่าน้อยกว่ากรณีของ Br = 34% และ 40% เมื่อพิจารณาในรูปของ ค่าเฉลี่ยตัวเลขนัสเซลโดยรวม พบว่าจะมีค่าเพิ่มขึ้นตามเปอร์เซนต์การเพิ่มของ Br นั่นคือ ถ้าค่า Br เพิ่มขึ้น 26.4%, 50%, 63.2% และ 69% ชิพความร้อนมีค่าเฉลี่ยตัวเลขนัสเซลโดยรวมเพิ่มขึ้น 6.5%, 18.5%, 30% และ 36% ตามลำดับที่ค่า Re_B = 130, S/W = 42% ดังแสดงในรูปที่ 3.20 เนื่องจากการเพิ่มค่าพารามิเตอร์นี้ทำให้ความเร็วภายในแบบจำลองการไหลมีค่าสูงขึ้นดังรูป 3.17 ซึ่งมีผลต่อค่าสัมประสิทธิ์การพาความร้อนของชิพ โดยผลการคำนวณนี้มีความสอดคล้องกับ งานวิจัยของ Hacohen et al. [16] ซึ่งได้ทำการทดลองการถ่ายเทความร้อนของชิพความร้อนใน กรณีการพาความร้อนแบบอิสระและแบบบังคับ โดยผลการทดลองในกรณีการพาความร้อนแบบ พบว่าการลดความสูงของผนังแบบจำลองการใหลลง สามารถทำให้ชิพความร้อนมีค่า สัมประสิทธิ์การพาความร้อนสูงขึ้นได้มากกว่าการเพิ่มความสูงของผนังแบบจำลองการไหล และผล การคำนวณยังมีความสอดคล้องกับผลงานวิจัยของ Suksangpanomrung [17] และ Velayati et al. [18] ที่ได้ทำการศึกษาการถ่ายเทความร้อนในแท่งวัตถุทรงสี่เหลี่ยม (bluff rectangular plate) ซึ่ง พบว่าการเพิ่มค่า Br ที่ค่าตัวเลขเรย์โนลต่ำๆ ส่งผลดีต่อการถ่ายเทความร้อนของแท่งวัตถุทรง สี่เหลี่ยม



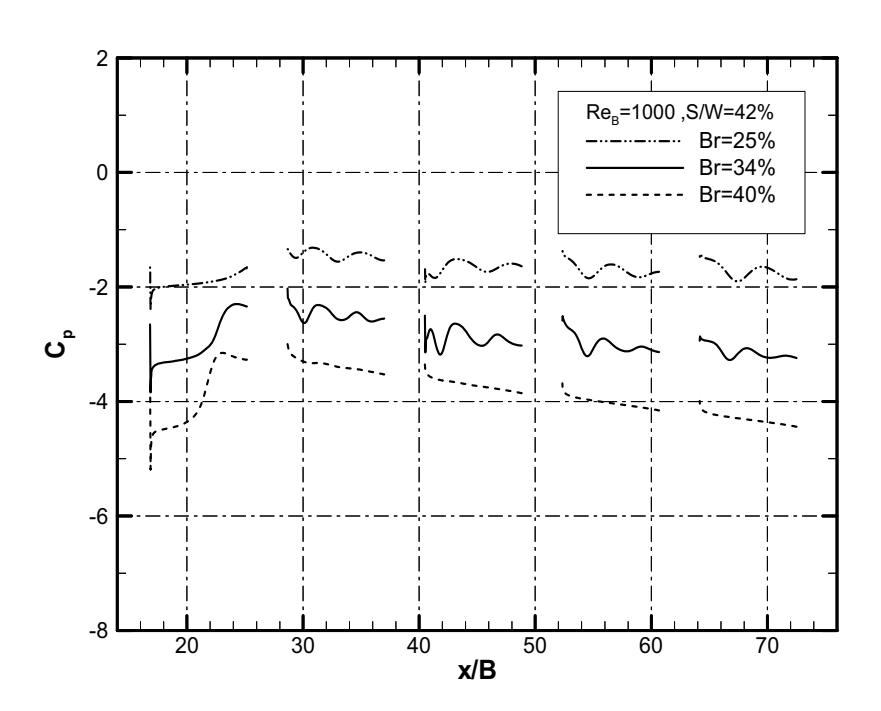
รูปที่ 3.19 ค่าตัวเลขนัสเซลท์เฉพาะที่ของการคำนวณผลกระทบค่า Br



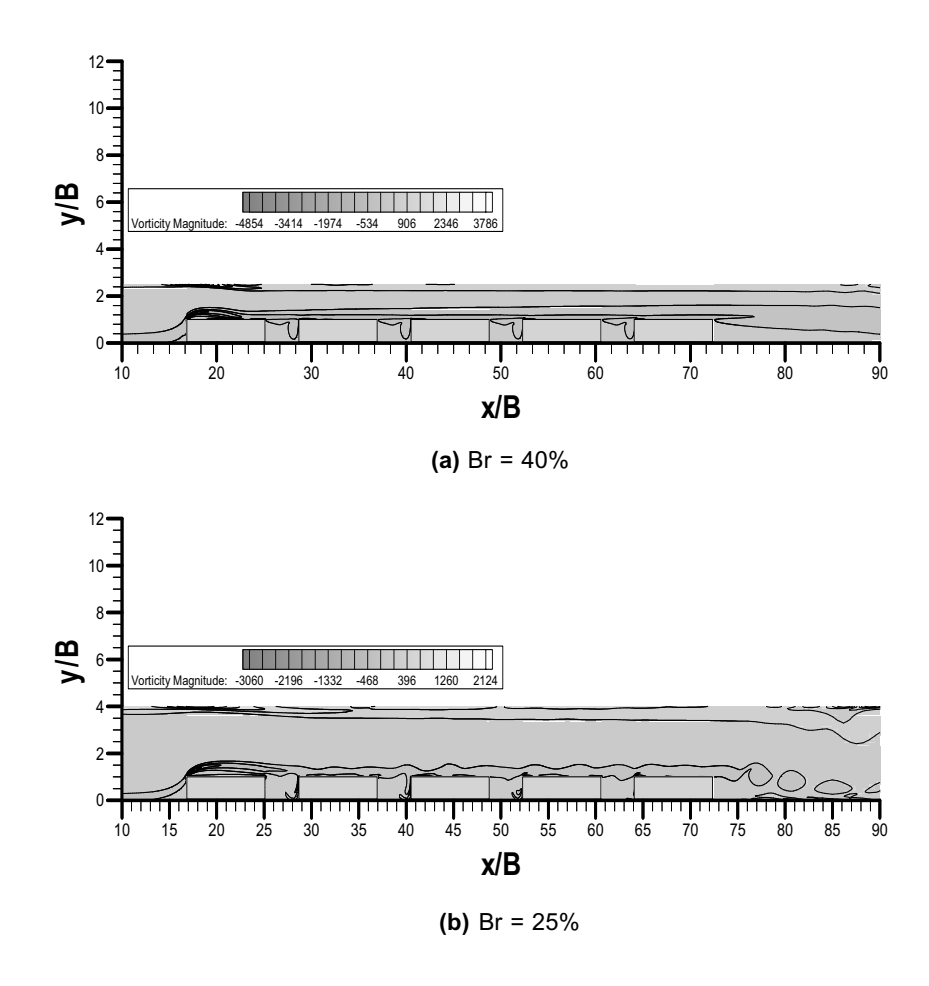
รูปที่ 3.20 ค่าเฉลี่ยตัวเลขนัสเซลท์โดยรวมของการคำนวณผลกระทบ Br

3.7.2.2 การไหลในสภาวะไม่คงตัว

การคำนวณหาผลกระทบจากการเปลี่ยนแปลงค่าอัตราส่วนความสูงของชิพ ต่อความสูงของ แบบจำลองการไหลในสภาวะการไหลไม่คงตัวกระทำการคำนวณในช่วง 25% ถึง 40% ที่ S/W = 42% และที่ Re_B = 1000 สำหรับผลจากการเปลี่ยนแปลงค่า Br ในสภาวะการไหลไม่คงตัวพบว่า การเพิ่มค่า Br ทำให้การไหลบรรจบหรือเขตการไหลหมุนวนมีขนาดลดลง ถึงแม้การไหลมีค่าตัวเลข เรย์โนลสูงก็ตาม แสดงว่าค่า Xr/B บนผนังชิพเป็นฟังก์ชันทั้งของค่าตัวเลขเรย์โนลและค่า Br โดยค่า Xr/B นี้มีเท่ากับ 8.7, 6.67 และ 5.67 สำหรับค่า Br = 25%, 34% และ 40% ตามลำดับสำหรับการ กระจายตัวของค่าสัมประสิทธิ์ของความดันในกรณีการเปลี่ยนแปลงค่า Br พบว่าการกระจายตัวของค่าสัมประสิทธิ์ของความร้อนตัวที่ 2, 3, 4 และ 5 ของกรณี 25% และ 34% มีการกระจาย ตัวที่ไม่ราบเรียบเกิดการสั่นตลอดความยาวบนผนังชิพ โดยมีความแตกต่างจากกรณี 40% ซึ่งพบ การกระจายตัวค่อนข้างราบเรียบดังรูปที่ 3.21 และเมื่อพิจารณาจากรูปที่ 3.22 ได้พบว่าการเพิ่มค่า Br = 40% นั้นเป็นการหน่วงให้สภาวะการไร้เสถียรภาพเกิดช้าลงส่งผลให้การไหลเปลี่ยนพฤติกรรม การไหลจากการไหลในสภาวะไม่คงตัวเป็นการไหลในสภาวะคงตัวที่มีเสถียร ภาพแม้ว่าการไหลจะ มีค่าตัวเลขเรย์ในลสูงก็ตาม



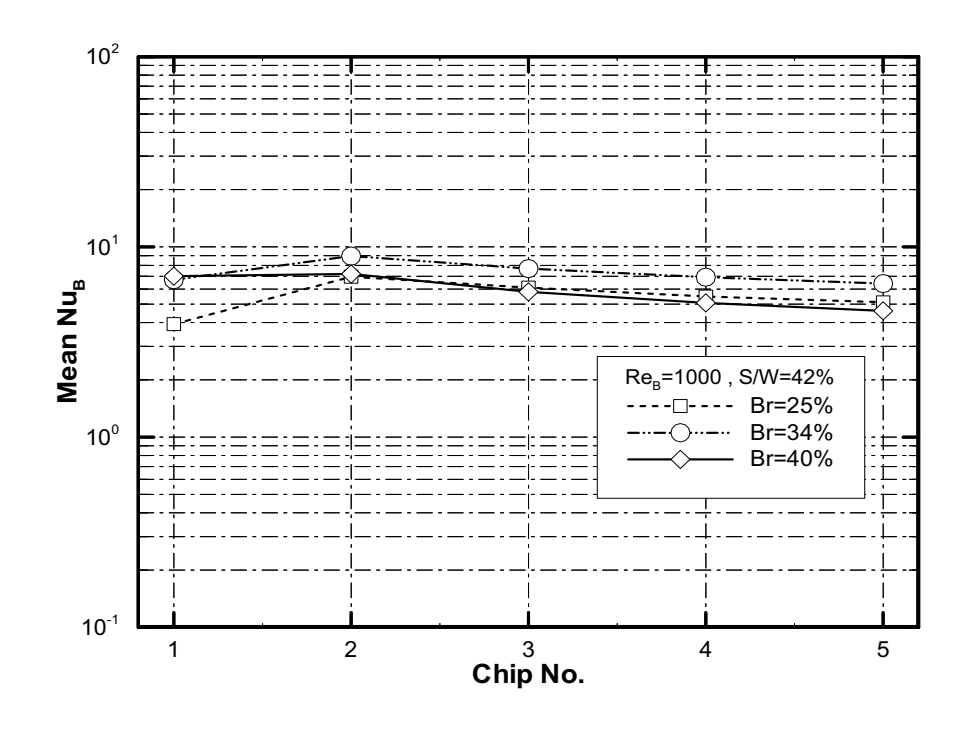
รูปที่ 3.21 ค่าสัมประสิทธิ์ความดันชั่วขณะของการคำนวณผลกระทบค่า Br



รูปที่ 3.22 contour line ของความเร็ว ณ เวลาใด ๆ ที่ค่า $\mathrm{Re_{_B}}$ = 1000, S/W =42%

การกระจายตัวของค่าตัวเลขนัสเซลเฉพาะตำแหน่งในกรณี Br = 25%, 34% และ 40% พบว่าในชิพตัวที่ 1 ของกรณี 25% การกระจายตัวของค่าตัวเลขนัสเซลเฉพาะตำแหน่งบนผนังชิพมี ค่าลดลง แต่เมื่อทำการเพิ่มเป็นกรณี 34% และ 40% พบว่ามีการกระจายตัวที่ดีขึ้นตามลำดับ ทั้งนี้ เนื่องจากผลของการไหลบรรจบบนผนังของชิพมีค่าลดลง จึงทำให้ชิพตัวที่ 1 สามารถถ่ายเทความ ร้อนได้ดีขึ้น สำหรับชิพตัวที่ 2, 3, 4 และ 5 พบว่าในกรณี Br = 40% นั้นการกระจายตัวของค่า ตัวเลขนัสเซลเฉพาะตำแหน่งค่อนข้างราบเรียบกว่ากรณี Br = 25% และ 34% ทั้งนี้เป็นผลมาจาก คุณลักษณะการไหลที่กลับเปลี่ยนเป็นสภาวะคงตัว และเมื่อพิจารณาเปรียบเทียบประสิทธิภาพใน การถ่ายเทความร้อนในแต่ละกรณีนั้น การถ่ายเทความร้อนของชิพตัวที่ 2, 3, 4 และ 5 ที่ค่า Br = 25% มีค่าน้อยกว่าที่กรณี Br = 34% ซึ่งสอดคล้องกับผลการคำนวณในสภาวะการไหลคงตัว แต่เมื่อทำการเพิ่มค่า Br เป็นกรณี 40% การถ่ายเทความร้อนของชิพตัวที่ 2 ถึงตัวที่ 5 กลับมีค่าลด ต่ำลงกว่ากรณี Br = 25% และ 34% ซึ่งให้ผลตรงกันข้ามกับการคำนวณในสภาวะการไหลคงตัว ดัง แสดงในรูปที่ 3.23

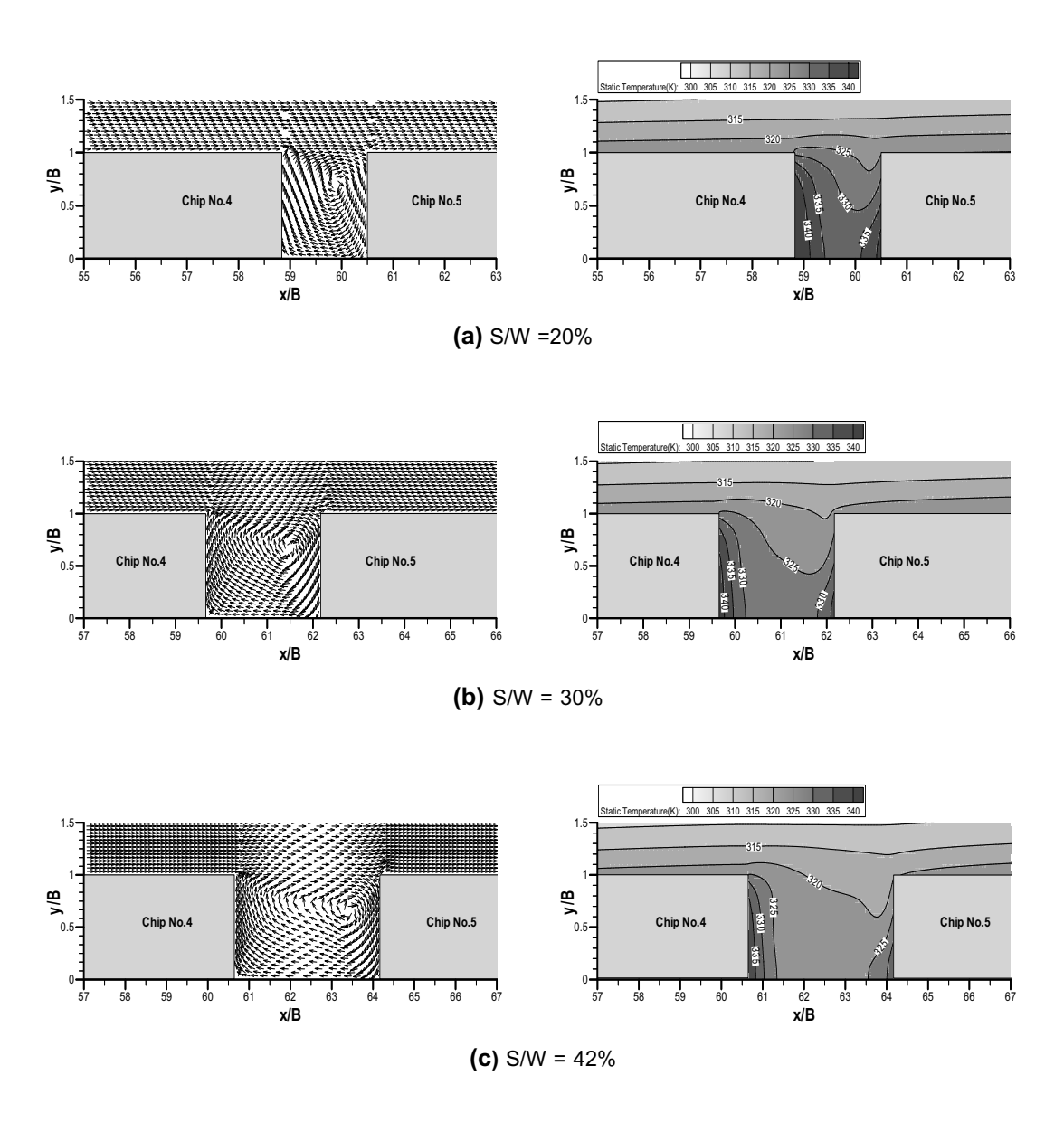
ผลจากการคำนวณค่า Br นี้สามารถสรุปได้ว่าการเพิ่มค่า Br ให้มีค่าสูงมากจนถึงจุดหนึ่ง คุณลักษณะการใหลจะเกิดการปรับเปลี่ยนจากการใหลในสภาวะไม่คงตัว ไปสู่การใหลในสภาวะคง ตัว ทำให้มีประสิทธิภาพการถ่ายเทความร้อนลดลง ดังนั้นการเพิ่มค่าพารามิเตอร์นี้ควรอยู่ใน ขอบเขตที่ไม่มากเกินไปเพื่อทำให้เกิดการใหลที่ไร้เสถียรภาพและมีการก่อตัวของกระแสการใหลวน เพื่อช่วยรับและพาความร้อนออกไป ซึ่งทำให้ประสิทธิภาพการถ่ายเทความร้อนของชิพความร้อนโดยรวมดีขึ้น นั่นคือ ถ้าค่า Br เพิ่มขึ้น 26.4% ชิพความร้อนมีค่าเฉลี่ยตัวเลขนัสเซลโดยรวมเพิ่มขึ้น 24.8% และถ้าให้ค่า Br เพิ่มขึ้น 37.5% ชิพความร้อนมีค่าเฉลี่ยตัวเลขนัสเซลโดยรวมเพิ่มขึ้นเพียง 7.1% เท่านั้น อย่างไรก็ตามการเพิ่มค่า Br ในสภาวะการใหลไม่คงตัวยังมีค่ามากกว่าในสภาวะการใหลคงตัว ณ ค่าตัวเลขเรย์โนลเท่ากับ 130 ประมาณ 67.6% และ 56.17% เมื่อค่า Br เพิ่มขึ้น 26.4% และ 37.5% ตามลำดับ



รูปที่ 3.23 ค่าเฉลี่ยตัวเลขนัสเซลของชิพแต่ละตัวของการคำนวณผลกระทบค่า Br

3.7.3 ผลกระทบจากการเปลี่ยนแปลงค่าอัตราส่วนระยะห่างของชิพต่อความยาวของชิพ3.7.3.1 การไหลในสภาวะคงตัว

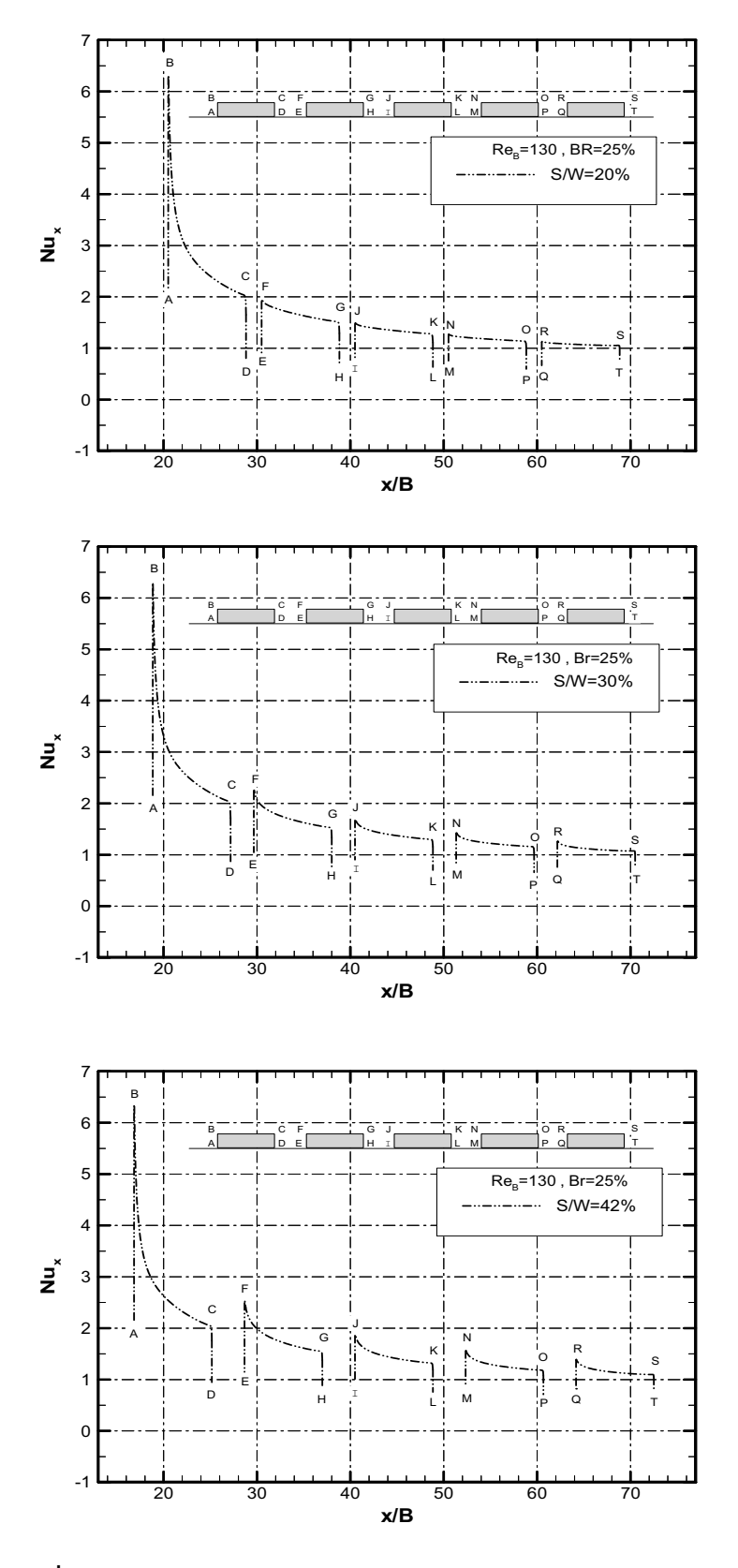
การคำนวณหาผลกระทบจากการเปลี่ยนแปลงค่าอัตราส่วนระยะห่างของชิพความร้อนต่อ ความยาวของชิพ (S/W) ที่มีผลต่อพฤติกรรมการไหลและการถ่ายเทความร้อน โดยกระทำการ คำนวณในช่วง 20% ถึง100% โดยเงื่อนไขของการคำนวณกระทำที่ Re_B = 130 และ Br = 25%



รูปที่ 3.24 เวคเตอร์ความเร็วและการกระจายตัวของอุณหภูมิในพื้นที่ระหว่างชิพตัวที่สี่และตัวที่ห้า

จากรูปที่ 3.24 ซึ่งเป็นภาพแสดงเวคเตอร์ความเร็วในพื้นที่ระหว่างชิพตัวที่ 4 และตัวที่ 5 ที่ ค่า S/W เท่ากับ 20%, 30% และ 42% ตามลำดับพบว่าในทุกกรณีนั้นได้เกิดการหมุนวนของกระแส การใหลขึ้น โดยจุดศูนย์กลางของกระแสหมุนวนได้เกิดขึ้นใกล้กับผนังของชิพตามทิศทางการใหล เยื้องไปทางมุมขวาบน ซึ่งเป็นอิทธิพลจากค่าตัวเลขเรย์โนล และไม่พบกระแสการไหลหมุนวนใน บริเวณมุมล่างผนังของช่องระหว่างชิพตัวที่ 4 ตัวที่ 5 และในช่องระหว่างชิพตัวอื่นๆ ซึ่งการหมุนวน ของกระแสการใหลมีขนาดเพิ่มขึ้นตามค่า S/W ที่สูงขึ้น สำหรับค่าสัมประสิทธิ์ของความดันของการ ใหลที่ค่า S/W ต่างกัน พบว่าลักษณะการกระจายตัวคล้ายกันและมีค่าใกล้เคียงกัน ซึ่งแสดงว่าการ เพิ่มค่า S/W มีผลกระทบต่อค่าความดันตกคร่อมของการไหลน้อย ในด้านการถ่ายเทความร้อน พบว่าการกระจายตัวของอุณหภูมิในช่องว่างระหว่างชิพตัวที่ 4 กับตัวที่ 5 นั้นการหมุนวนของ กระแสการไหลในตำแหน่งใกล้กับผนังเยื้องไปทางมุมขวาบนของชิพตัวที่ 5 และมีทิศทางของ กระแสการใหลหมุนวนในทิศตามเข็มนาพิกานั้น จะทำให้อุณหภูมิของผนังชิพตัวที่ 5 ลดลงแต่ที่ ผนังของชิพตัวที่ 4 ยังพบการสะสมของอุณหภูมิอยู่ ซึ่งแสดงว่าการเกิดกระแสหมุนวนภายในช่อง ระหว่างชิพสามารถช่วยลดอุณหภูมิบนผนังชิพได้บางส่วน ไม่สามารถลดอุณหภูมิบนผนังของชิพได้ ทั้งหมด

รูปที่ 3.25 การกระจายตัวของค่าตัวเลขนัสเซลเฉพาะตำแหน่งสำหรับในกรณี S/W = 20% ณ ตำแหน่ง C ซึ่งเป็นตำแหน่งบนผนังด้านท้ายของชิพตัวที่ 1 มีค่าตัวเลขนัสเซลเฉพาะตำแหน่งสูง กว่าตำแหน่ง F ซึ่งเป็นตำแหน่งด้านหน้าของชิพตัวที่ 2 โดยชิพตัวที่ 3, 4 และ 5 มีลักษณะการ กระจายตัวของค่าตัวเลขนัสเซลเฉพาะตำแหน่งเช่นเดียวกับที่เกิดขึ้นระหว่างตัวที่ 1 กับตัวที่ 2 การ ที่ตำแหน่ง C มีค่าสูงกว่าตำแหน่ง F นั้นน่าจะเป็นผลมาจากการลดระยะห่างระหว่างชิพ ซึ่งเป็น การลดการปะทะของกระแสการไหลที่สามารถทำให้ค่าตัวเลขนัสเซลเฉพาะตำแหน่ง ณ มุมผนังมีค่า สูงขึ้นได้ ซึ่งจะแตกต่างจากกรณี S/W = 30% และ 40% ที่ค่าการกระจายตัวของค่าตัวเลขนัสเซล เฉพาะตำแหน่งที่ F มีค่าสูงกว่าที่ C เมื่อพิจารณาเปรียบเทียบผลของการเพิ่มค่า S/W พบว่าการ เพิ่มค่า S/W สามารถช่วยเพิ่มค่าเฉลี่ยตัวเลขนัสเซลโดยรวมให้มีค่าสูงขึ้นได้ ซึ่งให้ผลที่สอดคล้อง กับการทดลอง [4] นั่นคือ ถ้าค่า S/W เพิ่มขึ้น 33.3%, 52.3%, 72% และ 80% ชิพความร้อนมี ค่าเฉลี่ยตัวเลขนัสเซลโดยรวมเพิ่มขึ้น 2.2%, 4.5%, 8% และ 10.1% ตามลำดับ สำหรับการคำนวณ ที่ค่าตัวเลขนัสเซลโดยรวมเพิ่มขึ้น 2.2%, 4.5%, 8% และ 10.1% ตามลำดับ สำหรับการคำนวณ ที่ค่าตัวเลขนัสเซลโดยวกัน ทั้งนี้เป็นเพราะว่าการเพิ่มค่า S/W นั้นเป็นการเพิ่มพื้นที่ว่างระหว่างชิพ ซึ่งทำให้อากาศที่หมุนอยู่ระหว่างพื้นที่นี้มีปริมาณมากขึ้นส่งผลให้สามารถพาความร้อนได้ดีกว่า อากาศหมุนในช่องแคบ ๆ ซึ่งชิพสามารถถ่ายเทความร้อนให้แก่กันได้ง่าย



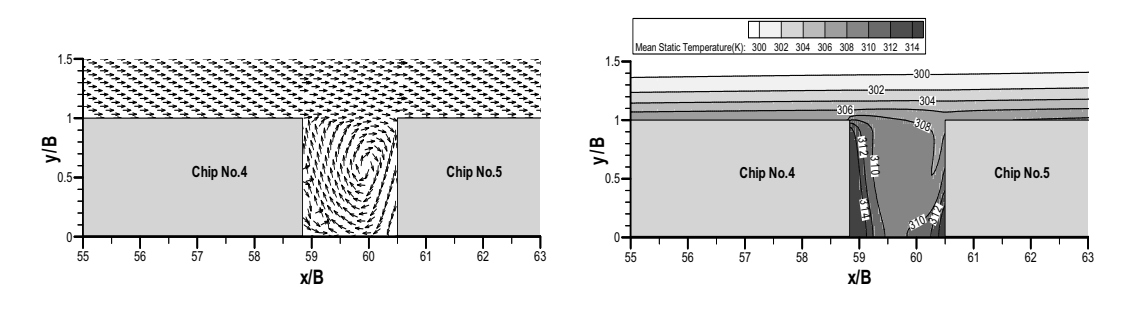
รูปที่ 3.25 ค่าตัวเลขนัสเซลเฉพาะตำแหน่งกับการคำนวณผลกระทบค่า S/W

3.7.3.2 การไหลในสภาวะไม่คงตัว

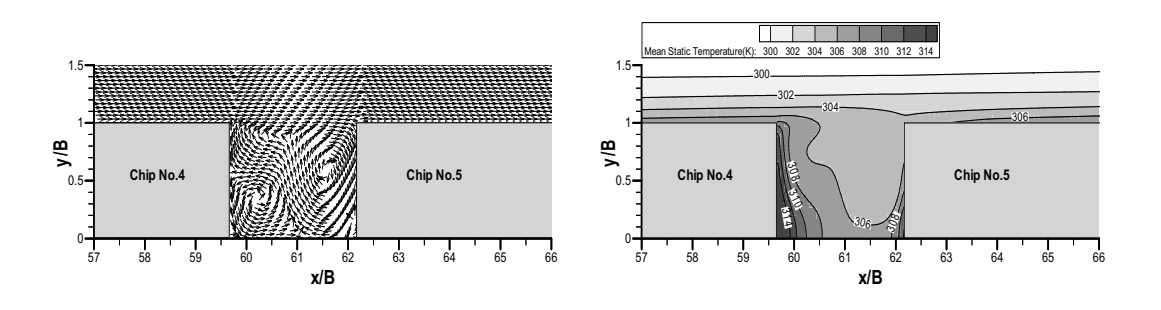
การคำนวณหาผลกระทบจากการเปลี่ยนแปลงค่าอัตราส่วนระยะห่างของชิพต่อความยาว ของชิพ (S/W) ที่มีผลต่อพฤติกรรมการไหลและการถ่ายเทความร้อน โดยกระทำการคำนวณ ในช่วง 20% ถึง 71% โดยเงื่อนไขของการคำนวณกระทำที่ Re_B = 1000 และ Br = 25%

ในรูปที่ 3.26 ซึ่งเป็นภาพแสดงเวคเตอร์ความเร็วในช่องว่างระหว่างชิพตัวที่ 4 และตัวที่ 5 ในรูปค่าเฉลี่ยต่อเวลาจากกรณี S/W = 20%, 30% และ 42% ตามลำดับ ซึ่งได้เกิดการหมุนวนของ กระแสการไหลภายในพื้นที่ว่างระหว่างชิพทั้งสองตัวขึ้น โดยเกิดจุดศูนย์กลางของกระแสการไหล หมุนวนจำนวน 2 ตำแหน่ง โดยกระแสการไหลหมุนวนทั้งสองนั้นหมุนในทิศทางตรงกันข้ามกัน ซึ่ง การหมุนวนเช่นนี้ไม่พบในการคำนวณในสภาวะการไหลคงตัวซึ่งมีค่าตัวเลขเรย์โนลต่ำ นอกจากนี้ ขนาดของกระแสการไหลหมุนวนภายในช่องว่างนี้มีขนาดเพิ่มขึ้นตามการเพิ่มค่า S/W และพบว่า การหมุนวนที่เกิดขึ้นภายในช่องว่างระหว่างชิพไม่สามารถลดอุณหภูมิในช่องว่างระหว่างชิพได้ ทั้งหมด สำหรับค่าสัมประสิทธิ์ของความดันชั่วขณะนั้น พบว่าชิพความร้อนตัวที่ 1 มีลักษณะการ กระจายตัวที่คล้ายกันกับที่เกิดกับกรณีการศึกษาอิทธิพลของค่าตัวเลขเรย์โนลในสภาวะการไหลไม่ คงตัว แต่ในชิพตัวที่ 2 ถึงตัวที่ 5 มีลักษณะที่แตกต่างกัน ซึ่งการเพิ่มค่า S/W ทำให้เกิดการแกว่ง ของค่าสัมประสิทธิ์ของความดันอย่างรุนแรงตลอดความยาวของผนังชิพตัวที่ 2 ถึงตัวที่ 5 เหตุผล เพราะการเพิ่มพื้นที่ระหว่างชิพนั้นทำให้เกิดการไหลแตกแยก ณ มุมผนังชิพแต่ละตัวได้ง่ายขึ้นและ ทำให้มีการเปลี่ยนแปลงของความดันสูง พร้อมทั้งทำให้เสถียรภาพของการไหลถูกรบกวนมากขึ้น

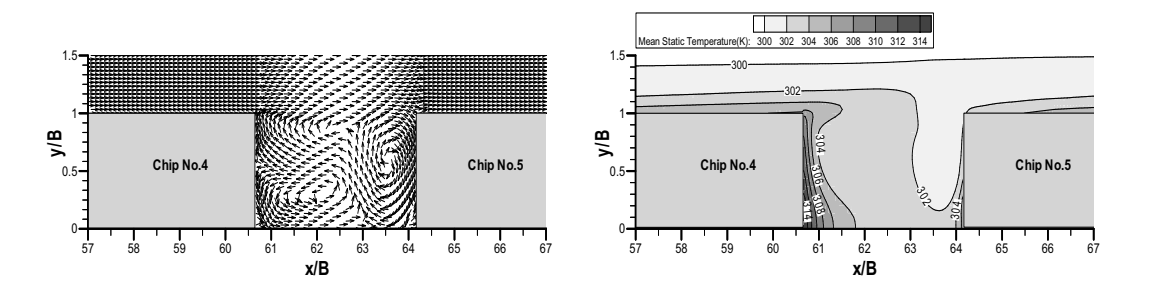
สำหรับผลในด้านการถ่ายเทความร้อนจากการเปลี่ยนแปลงค่า S/W นี้ พิจารณาจากรูปที่ 3.27 พบว่าการกระจายตัวของค่าตัวเลขนัสเซลเฉพาะตำแหน่ง สำหรับในกรณี S/W = 20% มี ลักษณะที่แตกต่างจากกรณี S/W = 30% และ 42% โดยมีการกระจายตัวที่น้อยกว่าซึ่งสอดคล้อง กับการคำนวณในสภาวะการไหลคงตัว และเมื่อพิจารณาค่าเฉลี่ยตัวเลขนัสเซลของชิพแต่ละตัว พบว่าค่าเฉลี่ยตัวเลขนัสเซลของชิพตัวที่ 1 จากทั้ง 3 กรณีมีค่าไม่แตกต่างกันมากนัก เนื่องจากการ เพิ่มค่า S/W ไม่สามารถช่วยลดขนาดของการไหลบรรจบบนผนังชิพได้ แต่สำหรับในชิพตัวอื่น ๆ นั้น พบว่ามีค่าเฉลี่ยตัวเลขนัสเซลแตกต่างกันตามการเพิ่มขึ้นของค่า S/W นี้ ซึ่งชิพตัวที่ 5 มีความ แตกต่างกันมากที่สุดโดยชิพมีค่าเฉลี่ยตัวเลขนัสเซลเท่ากับ 3.5344, 4.0480, 5.1189, 6.2130 ที่ค่า S/W = 20% 30%, 42% และ 71% ตามลำดับ ดังแสดงในรูปที่ 3.28 และเมื่อพิจารณาผลของ ค่าเฉลี่ยตัวเลขนัสเซลโดยรวมพบว่าการเพิ่มค่า S/W ทำให้ชิพมีค่าเฉลี่ยตัวเลขนัสเซลโดยรวม เพิ่มขึ้น ซึ่งมีความสอดคล้องกับการไหลในสภาวะคงตัว ดังแสดงในรูปที่ 3.29 นั่นคือ ถ้าค่า S/W เพิ่มขึ้น 33.3%, 52.3% และ 72% ชิพความร้อนมีค่าเฉลี่ยตัวเลขนัสเซลโดยรวมเพิ่มขึ้น 10.2%, 19.4% และ 30.6% ตามลำดับ ซึ่งมีค่ามากกว่าในสภาวะการไหลคงตัว ณ ค่าตัวเลขเรย์ โนล 130 ประมาณ 60%, 63% และ 77.7% ตามลำดับ



(a) S/W = 20%

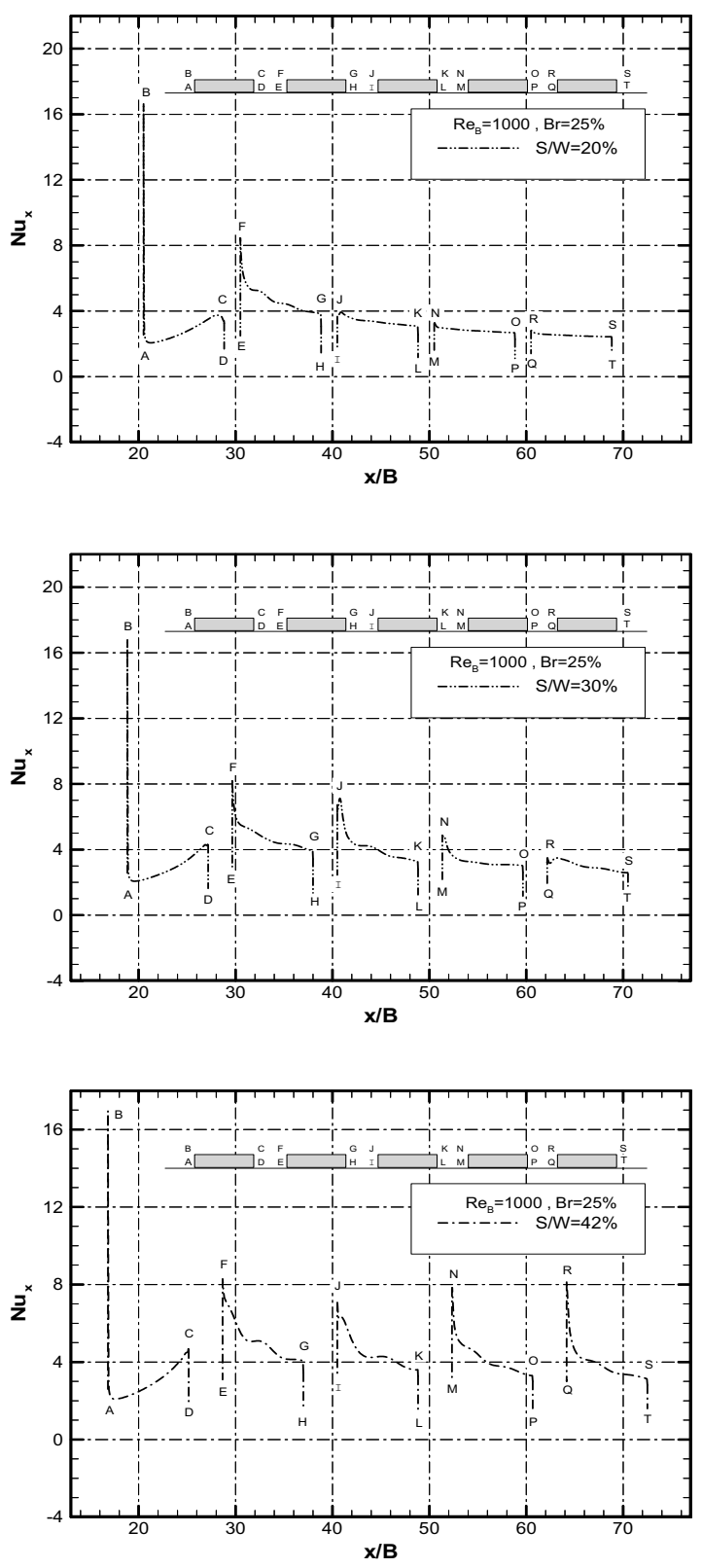


(b) S/W = 30%

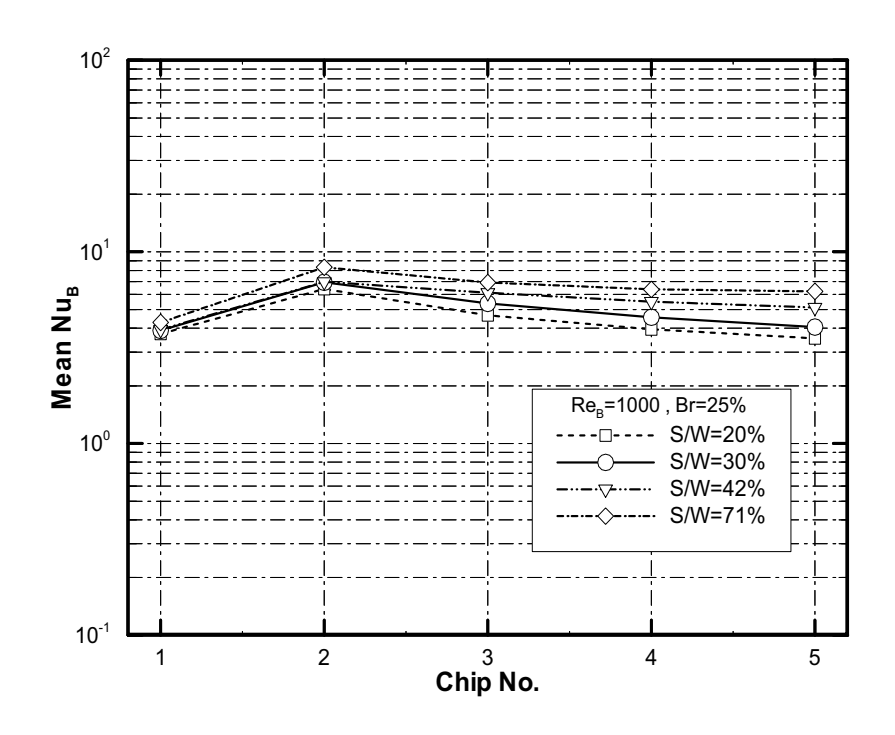


(c) S/W = 42%

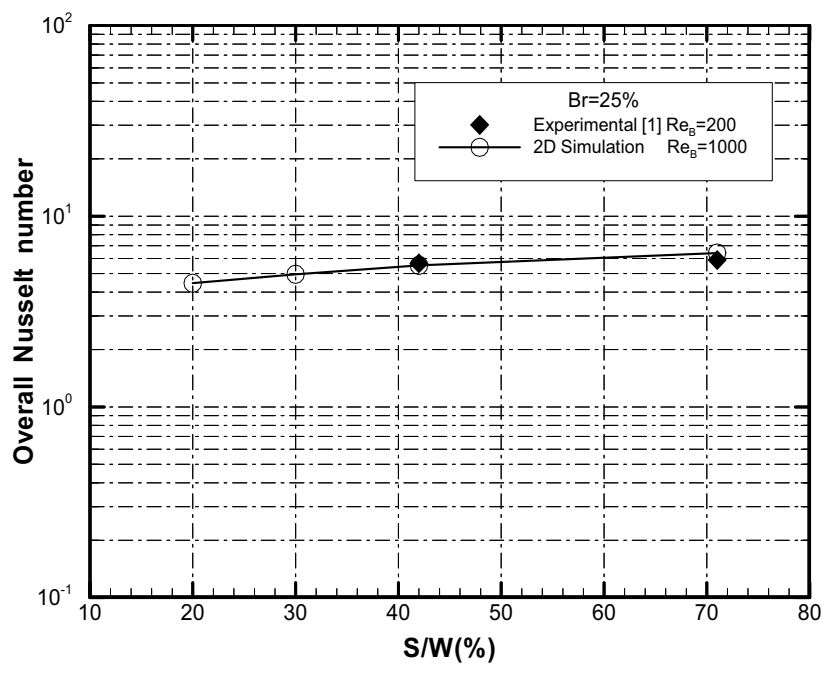
รูปที่ 3.26 เวคเตอร์ความเร็วและการกระจายตัวของอุณหภูมิในรูปเฉลี่ยของเวลา ในพื้นที่ระหว่างชิพตัวที่สี่และตัวที่ห้า



รูปที่ 3.27 การกระจายตัวของค่าตัวเลขนัสเซลเฉพาะตำแหน่งของการคำนวณผลกระทบค่า S/W



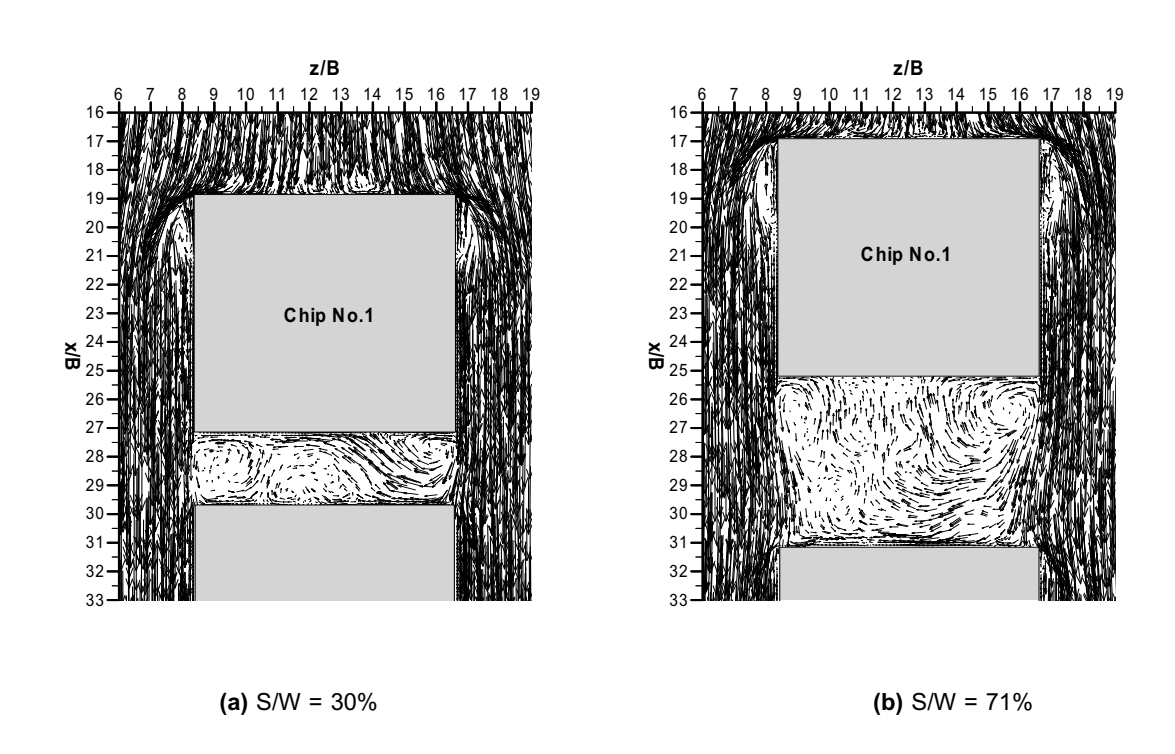
รูปที่ 3.28 ค่าเฉลี่ยตัวเลขนัสเซลของชิพแต่ละตัวของการคำนวณผลกระทบค่า S/W



รูปที่ 3.29 ค่าเฉลี่ยตัวเลขนัสเซลทโดยรวมของการคำนวณผลกระทบค่า S/W

3.7.4 การคำนวณเชิงตัวเลขในสามมิติสำหรับแท่งความร้อนรูปทรงสี่เหลี่ยมที่จัดเรียงตัวกัน

การคำนวณเชิงตัวเลขในสามมิติสำหรับแท่งความร้อนรูปทรงสี่เหลี่ยมหรือชิพความร้อนที่ จัดเรียงตัวกัน จำนวน 5 ตัว กระทำเฉพาะบางกรณีศึกษาเท่านั้นเนื่องจากเวลาในการคำนวณ ค่อนข้างมาก โดยพยายามเน้นในส่วนที่ขาดหายไปจากการคำนวณในสองมิติ สำหรับงานวิจัยนี้ได้ เลือกทำการคำนวณในกรณีผลกระทบของการเปลี่ยนแปลงค่าอัตราส่วนระยะห่างของชิพต่อความ ยาวของชิพ (S/W) ทั้งนี้เนื่องจากการคำนวณค่าอัตราส่วนความสูงของชิพต่อความสูงของ แบบจำลองการไหล(%Br) ในสภาวะการไหลคงตัวที่ผ่านมาทำให้ทราบว่าการถ่ายเทความร้อนใน 2 มิติและ 3 มิติให้ผลที่ไม่แตกต่างกันมากนักในช่วงที่ค่าพารามิเตอร์นี้มีค่าสูงๆ สำหรับการคำนวณอิทธิพลของค่า S/W ใน 3 มิตินี้ได้กระทำที่การไหลในสภาวะไม่คงตัวที่ค่าตัวเลขเรย์โนลเท่ากับ 1000 โดยใช้ข้อมูลและเงื่อนไขต่างๆ เช่นเดียวกับการคำนวณในแบบจำลองการไหล 2 มิติ

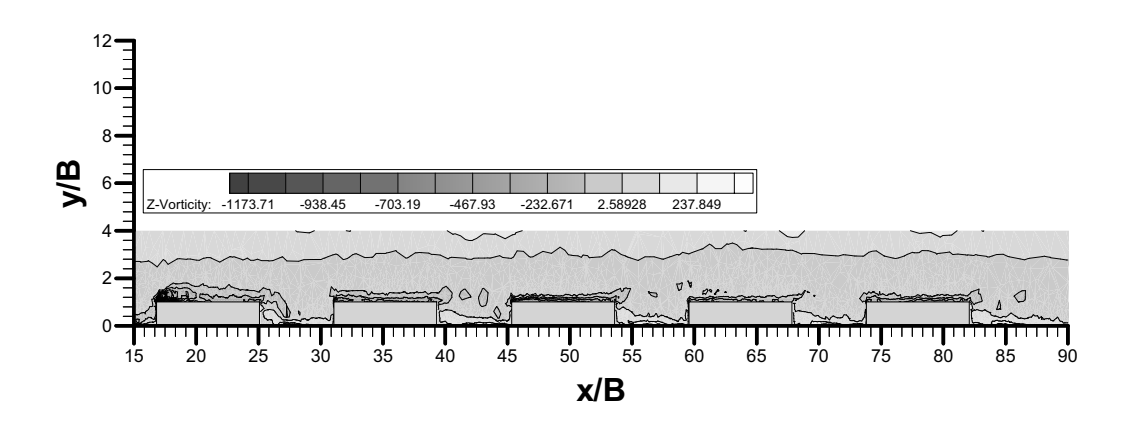


รูปที่ 3.30 เวคเตอร์ความเร็วในพื้นที่ระหว่างชิพตัวที่หนึ่งและตัวที่สอง ในรูปค่าเฉลี่ยต่อเวลาที่ค่า Re_B = 1000, Br = 25%

รูปที่ 3.30 แสดงค่าเวคเตอร์ความเร็วในรูปค่าเฉลี่ยต่อเวลาบนระนาบ x – z ในกรณี S/W = 30% และ 71% ตามลำดับ พบว่าในทั้ง 2 กรณีนั้น กระแสการไหลส่วนใหญ่เมื่อไหลผ่านชิพใน ตำแหน่งต้นกระแสแล้วก็จะเคลื่อนตัวต่อไปยังชิพความร้อนตัวอื่น ๆ ในตำแหน่งด้านท้าย แต่มี

กระแสการใหลส่วนหนึ่งซึ่งเคลื่อนตัวผ่านบริเวณพื้นที่หรือช่องว่างระหว่างชิพได้ม้วนตัวและใหลเข้า สู่พื้นที่ว่างนี้เกิดการใหลหมุนวนของกระแสการใหลขึ้น โดยขนาดของกระแสการใหลหมุนวนนี้มี ขนาดมากขึ้นตามการเพิ่มค่า S/W ซึ่งสอดคล้องกับการใหลใน 2 มิติที่ผ่านมา และพบว่ากระแส การใหลหมุนวนที่เกิดขึ้นในช่องว่างของกรณีค่า S/W = 30% นั้นมีพื้นที่ค่อนข้างจำกัด ของใหลไม่ สามารถเคลื่อนตัวออกจากพื้นที่ว่างระหว่างชิพได้ง่ายนัก เนื่องจากรูปทรงสัณฐานของชิพที่มี พื้นที่หน้าตัดเท่ากันหมด ประกอบกับความเร็วของของใหลในทิศทางการเคลื่อนที่หลัก (แกน x) มี ค่าสูง ทำให้เกิดการปิดกั้นการเคลื่อนตัวของกระแสการใหลออกมาทางข้าง (แกน z) ทำให้การ ถ่ายเทความร้อนของของใหลเกิดขึ้นได้ค่อนข้างยากในแกน z ซึ่งต่างจากกรณีค่า S/W = 71% ซึ่งมี ช่องว่างระหว่างชิพความร้อนที่ยาวกว่า ทำให้การผสมผสานระหว่างกระแสการใหลหลัก กับกระแส การใหลหมุนวนภายในช่องว่างเกิดขึ้นได้ดีกว่ากรณีที่ค่า S/W = 30%

รูปที่ 3.31 แสดงกระแสการใหลวนหรือวอร์เท็กซ์ในแกน z (z-vorticity) ณ เวลาใด ๆ ที่ ระนาบ x – y สำหรับการใหลที่ค่า S/W = 71% ณ ตำแหน่ง z/B = 12.5 ซึ่งเป็นตำแหน่งกึ่งกลาง ของชิพในแบบจำลองการใหลสามมิติ จากรูปนี้พบการก่อตัวและการเคลื่อนตัวของกระแสการ ใหลวนหรือวอร์เท็กซ์ในบริเวณใกล้ผิวของชิพและพบการสลัดตัวของวอร์เท็กซ์ในบริเวณด้านท้าย ของชิพแต่ละตัว ซึ่งอาจพบได้ยากเมื่อค่า S/W มีค่าน้อย พฤติกรรมที่เกิดขึ้นนี้จะแตกต่างไปจาก กรณีการใหลในสองมิติที่ Re_B = 1000, Br = 25% และ S/W = 71% เนื่องจากในกรณีการใหลใน สองมิตินั้นไม่มีผลกระทบจากการใหลในแกน z ทำให้การใหลที่เกิดขึ้นค่อนข้างจะราบเรียบและคง ตัวมากกว่าการใหลในสามมิติ



รูปที่ 3.31 แสดงกระแสการไหลวน ณ เวลาใด ๆ ที่ระนาบ x –y ที่ z/B = 12.5 Re_p = 1000, S/W = 71% และ Br = 25%